

Б - 955

ОБЪЕДИНЕННЫЙ ИНСТИТУТ ЯДЕРНЫХ ИССЛЕДОВАНИЙ

1 - 10766

БЫСТРИЦКИЙ  
Вячеслав Михайлович

ЭКСПЕРИМЕНТАЛЬНОЕ ИССЛЕДОВАНИЕ  
НЕКОТОРЫХ МЕЗОАТОМНЫХ  
И МЕЗОМОЛЕКУЛЯРНЫХ ПРОЦЕССОВ  
В ГАЗООБРАЗНОМ ВОДОРОДЕ

Специальность 01.04.01 - экспериментальная физика

Автореферат диссертации на соискание ученой степени  
кандидата физико-математических наук

Дубна 1977

Работа выполнена в Лаборатории ядерных проблем  
Объединенного института ядерных исследований (г. Дубна)

Научные руководители: член-корреспондент АН СССР  
профессор В. П. ДЖЕЛЕЛОВ,  
кандидат физико-математических наук  
В.В. ФИЛЬЧЕНКОВ.

Официальные оппоненты:  
доктор физико-математических наук  
А.И. МУХИН,  
доктор физико-математических наук  
В.Б. БЕЛНЕВ.

Ведущее научно-исследовательское учреждение:  
Институт атомной энергии им. И.В. Курчатова, г. Москва.

Автореферат разослан " " 1977 г.

Зашита диссертации состоится " " 1977 года  
в " " часов на заседании Ученого совета Лаборатории ядерных  
проблем ОИЯИ.

С диссертацией можно ознакомиться в библиотеке Объединенного  
института ядерных исследований.

Ученый секретарь совета  
кандидат физико-математических наук

Ю.А. БАТУСОВ

Исследование мезоатомных и мезомолекулярных процессов, а  
также ядерных реакций синтеза в "холодном" водороде представляет  
в настоящее время самостоятельный раздел физики мюонов. Повышен-  
ный интерес к изучению таких процессов связан в основном с двумя  
обстоятельствами: во-первых, с необходимостью иметь о них сведе-  
ния для корректной постановки экспериментов и интерпретации дан-  
ных по ядерному захвату мюонов протонами (дейtronами) и, во-вторых,  
с экспериментальным открытием группой Альвареса ( L.W.Alvarez,  
H.Brander et al. Phys.Rev., 105, 1127 (1957) интересного явления -  
катализа мюонами ядерных реакций синтеза изотопов водорода.  
Последний эффект был ранее предсказан теоретически на основе сво-  
еобразной картины поведения отрицательно заряженных мюонов малой  
энергии в водороде (Я.Б. Зельдович. ДАН, 95, 493 (1954)). Мюоны,  
попадая в водород, испытывают потери энергии на ионизацию и захва-  
тываются на высоковозбужденные квантовые орбиты  $\mu^-$ -атома. В ре-  
зультате девозбуждения  $\mu^-$ -атома мюон оказывается на  $K^-$ -ор-  
бите за время, гораздо меньшее его времени жизни ( $\sim 10^{-12}$  с в жид-  
ком водороде). Мезоатомы  $\mu^-$ , благодаря малым размерам и электо-  
нейтральности, проникают через электронную оболочку других атомов  
и приближаются к их ядрам на расстояния порядка мезоатомной  
единицы длины  $a_m = 2,56 \cdot 10^{-11}$  см.

Такое сближение сопровождается целым рядом мезоатомных и мезомо-  
лекулярных процессов ( S.S.Gershstein, L.I.Ponomarev. MUON PHYSICS,  
V.III, Chemistry and Solids, Academic Press, N.-Y., 1975, p.141.):

а/ упругими столкновениями мезоатомов водорода с протонами и  
дейtronами ( $\mu^- + p$ ,  $\mu^- + d$ ,  $d\mu^- + p$ ,  $d\mu^- + d$  и т.д.);

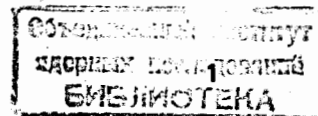
б/ переходом мюонов от легких изотопов водорода к тяжелым;

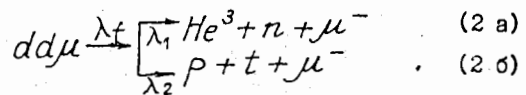
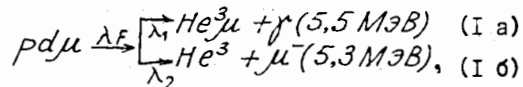
в/ перехватом мюонов от изотопов водорода к ядрам других эле-  
ментов с зарядом  $Z > 1$ ;

г/ переходами между уровнями сверхтонкой структуры  $\mu^-$  и  
 $d\mu^-$ -атомов при столкновении их с протонами или дейtronами  
(переходы  $F = I \rightarrow F = 0$  для  $\mu^-$ -атомов и  $F = 3/2 \rightarrow F = 1/2$   
для  $d\mu^-$ -атомов,  $F$  - полный момент мезоатома);

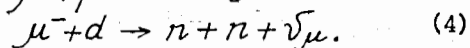
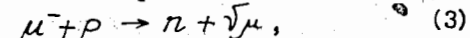
д/ образованием мюонных молекул  $p\mu^-$ ,  $p\mu^-d$ ,  $d\mu^-d$  при столк-  
новениях мезоатомов с ядрами молекул водорода.

В мезомолекулах водорода возможны подбарьерные ядерные ре-  
акции слияния изотопов водорода, входящих в состав мюонной мо-  
лекулы:





Таким образом, картина мезоатомных и мезомолекулярных явлений представляет собой многоступенчатую и разветвленную цепь процессов, количественные данные о которых крайне важно иметь при изучении фундаментальных реакций слабого взаимодействия:



Мезоатомные и мезомолекулярные процессы могут существенно изменить вероятность ядерного захвата мюона. В частности, при полном переходе  $r\mu(F=1) \rightarrow r\mu(F=0)$  скорость процесса (3) возрастает примерно в 4 раза по сравнению со случаем, когда состояния  $F=1$  и  $F=0$  заполнены статистически, а переход  $d\mu(3/2) \rightarrow d\mu(1/2)$  приводит к увеличению в 3 раза скорости процесса (4) по сравнению со случаем статистической заселенности состояний сверхтонкой структуры  $d\mu$ -атома. Кроме того, отмеченные мезоатомные процессы являются источниками нейтронного фона по отношению к исследуемым реакциям (3) и (4). Такими источниками в случае реакции (3) является  $\mu^-$ -захват в  $r\mu$ -молекуле со скоростью, отличной от скорости  $\mu^-$ -захвата в изолированном  $r\mu$ -атоме, а в случае реакции (4) —  $\mu^-$ -захват протоном или дейtronом в  $r\mu$ -молекуле, реакция ядерного синтеза (2 а) в  $d\mu$ -молекуле,  $\mu^-$ -захват в системе  $He^3\mu$ , образующейся в реакции синтеза (I а).

Для правильной интерпретации экспериментов (3) и (4) необходимо знать следующие величины: 1) скорость перехода  $r\mu$ - и  $d\mu$ -атомов между состояниями сверхтонкой структуры, с целью определения характера заселенности спиновых состояний  $r\mu$ - и  $d\mu$ -атомов в момент ядерного захвата; 2) скорости образования  $r\mu$ -,  $r\mu$ -,  $d\mu$ -молекул; 3) скорости захвата мюона с протоном (дейтроном) к ядрам с  $Z \geq 1$ ; 4) скорости ядерного синтеза в  $r\mu$ -,  $d\mu$ -молекулах.

С теоретической точки зрения интерес к таким процессам обусловлен тем обстоятельством, что в столкновениях мезоатомов в чистом виде реализуется квантово-механическая задача трех тел, взаимодействующих по закону Кулона.

Своебразие и богатство мезоатомных и мезомолекулярных процессов и проблемы, связанные с захватом мюона протоном (дейтроном), инициировали большое количество теоретических и экспериментальных работ.

Переходя к описанию экспериментальных работ и полученным результатам, отметим, что большинство этих работ было выполнено с жидким водородом.

Значения величины  $\lambda_{r\mu}$  — скорости образования  $r\mu$ -молекулы, полученные с жидким водородом ( $(1,9 \pm 0,2) \cdot 10^6 \text{ c}^{-1}$  — E.Bleser, E.W.Anderson et al. Phys.Rev., 132, 2679 (1963);  $(2,55 \pm 0,18) \cdot 10^6 \text{ c}^{-1}$  — G.Conforto, C.Rubbia et al. Nuovo Cim., 33, 1001 (1964))

и с газообразным водородом ( $(1,5 \pm 0,6) \cdot 10^6 \text{ c}^{-1}$  — В.П.Джелепов, П.Ф.Брмолов и др. Труды XII Международной конференции по физике высоких энергий, Дубна, т. I, 878, 1964, М., Атомиздат, 1966.); ( $(2,74 \pm 0,25) \cdot 10^6 \text{ c}^{-1}$  — Ю.Г.Будяшов, П.Ф.Брмолов и др. Препринт ОИЯИ, Р15-3964, Дубна (1968)), различаются между собой в пределах до двух статистических ошибок. Во-первых, такая ситуация не позволяет сделать однозначный вывод о наличии или отсутствии зависимости скорости образования  $r\mu$ -молекул от температуры среды, что весьма важно для проверки расчетных значений  $\lambda_{r\mu}$ . Во-вторых, точное знание этой величины в газе позволит уменьшить неопределенность при анализе данных опытов по определению скоростей захвата мюона протоном или дейтроном (реакции (3) и (4)).

Что касается образования  $r\mu$ -молекулы, то прямых измерений  $\lambda_{r\mu}$  — скорости этого процесса в газе выполнено не было, а результаты экспериментов, проведенных с жидким водородом ( $(5,8 \pm 0,3) \cdot 10^6 \text{ c}^{-1}$  — E.Bleser, E.W.Anderson et al. Phys.Rev., 132, 2679 (1963);  $(6,82 \pm 0,25) \cdot 10^6 \text{ c}^{-1}$  — G.Conforto, C.Rubbia et al. Nuovo Cim., 33, 1001 (1964)), различаются между собой более чем на три статистических ошибки и не согласуются с расчетными значениями ( $(1,3 \pm 0,1) \cdot 10^6 \text{ c}^{-1}$  — Я.Б.Зельдович, С.С.Гарштейн. УФН, 71, 581 (1960);  $3,0 \cdot 10^6 \text{ c}^{-1}$  — S.Cohen, D.L.Judd et al., Phys.Rev., 119, 397 (1960)). В то же время знание этой величины (как и в случае  $r\mu$ -молекулы) крайне необходимо для анализа экспериментальных данных опыта (4) и для установления зависимости  $\lambda_{r\mu}$  от энергии  $d\mu$ -атома. Кроме того, суммарная скорость реакции синтеза  $\lambda_F$  в  $r\mu$ -молекуле найдена лишь в одной работе

$((0,305 \pm 0,01) \cdot 10^6 \text{ c}^{-1}$  - E.Bleser, E.W.Anderson et al. Phys.Rev., 132, 2679 (1963)) с использованием при обработке экспериментального материала гипотезы о статистическом характере заселенности спиновых состояний  $d\mu$ -системы в момент образования  $d\mu$ -молекулы.

Скорость образования  $d\mu$ -молекулы ( $\lambda_{d\mu}$ ), измеренная с помощью пузырьковых камер ( $(0,076 \pm 0,015) \cdot 10^6 \text{ c}^{-1}$  - J.G.Fetkovich et al. Phys.Rev.Lett., 4, 570 (1960);  $(0,103 \pm 0,004) \cdot 10^6 \text{ c}^{-1}$  - J.H.Doede. Phys.Rev., 132, 1782 (1963);  $T \approx 35^\circ\text{K}$ ), почти на порядок меньше соответствующей величины, полученной с использованием диффузионной камеры ( $(0,75 \pm 0,11) \cdot 10^6 \text{ c}^{-1}$  - В.П.Джелепов, П.Ф.Ермолов и др. ЖЭТФ, 50, 1235 (1966);  $T \approx 240^\circ\text{K}$ ). Такое различие в значениях  $\lambda_{d\mu}$  может свидетельствовать о зависимости скорости образования  $d\mu$ -молекулы от температуры среды. Для объяснения столь резкого различия в экспериментальных значениях  $\lambda_{d\mu}$  в работе (Э.А.Весман. Препринт ОИЯИ, Р-3256, Дубна (1967)) было высказано предположение о существовании резонансного по энергии  $d\mu$ -атома механизма образования  $d\mu$ -молекулы. Однако небольшой набор экспериментальных данных не позволяет однозначно ответить на вопрос о справедливости этой модели. В свете этого целесообразны новые эксперименты по определению  $\lambda_{d\mu}$  при различных температурных условиях и с использованием методики, обеспечивающей одновременное измерение как выхода, так и вида временного распределения нейтронов от реакции синтеза (2 а), что позволит найти не только  $\lambda_{d\mu}$ , но и скорость синтеза в  $d\mu$ -молекуле.

Анализируя вопрос о характере заселенности спиновых состояний  $d\mu$ -атома в момент ядерного захвата мюона дейтроном, заметим, что до последнего времени прямые измерения  $\lambda_d$ -скорости перехода  $d\mu(3/2) \rightarrow d\mu(1/2)$  не были выполнены, а имелись только два расчетных значения скорости процесса  $d\mu(3/2) + d \rightarrow d\mu(1/2) + d$ , которые различаются между собой на порядок. Результаты экспериментов (E.Bleser, E.W.Anderson et al. Phys.Rev., 132, 2679 (1963); I.-T.Wang et al. Phys.Rev., 139, 1528 (1965); A.Placci et al. Phys.Rev.Lett., 25, 475 (1970); Phys.Rev., 8D, 11, 3774 (1973)) неоднозначны и свидетельствуют о существенно различном характере заселенности спиновых состояний  $d\mu$ -атома в момент  $\mu$ -захвата. Для выяснения этого вопроса необходимо проведение дополнительных экспериментов по измерению  $\lambda_d$  в газообразном водороде с примесью дейтерия.

Целью исследований, обобщенных в диссертации, являлось:

а) определение прямым методом и с более высокой точностью некоторых уже ранее измерявшихся основных мезомолекулярных констант, таких как  $\lambda_{pp\mu}$ ,  $\lambda_{pd\mu}$ ,  $\lambda_{dd\mu}$  при нормальной температуре ( $T = 300^\circ\text{K}$ );

б) измерение ряда неизвестных, также важных характеристик мезоатомных и мезомолекулярных процессов: скоростей реакций синтеза в  $pd\mu$ -и  $dd\mu$ -молекулах, заселенности спиновых состояний  $d\mu$ -атомов в момент ядерного захвата мюона дейтроном и др. В связи с этим на синхроциклотроне ЛЯП ОИЯИ с 1971 года по 1976 год был выполнен цикл исследований в газообразном водороде, ставивший своей целью:

а) прямое измерение скоростей образования  $pp\mu$ - и  $pd\mu$ -молекул и скорости синтеза в мезомолекуле  $pd\mu$ ;

б) определение характера заселенности спиновых состояний  $pd\mu$ -молекулы и измерение  $\lambda_d$ -скорости перехода  $d\mu$ -атома из состояния с суммарным спином  $F = 3/2$  в нижнее состояние  $F = 1/2$ ;

в) измерение  $\lambda_{dd\mu}$ -скорости образования  $dd\mu$ -молекулы при  $T = 300^\circ\text{K}$  с помощью электронной методики для проверки существования зависимости  $\lambda_{dd\mu}$  от температуры среды. Напомним, что прежние данные были получены на основании измеренных выходов реакций (2 а, 2 б) и предположения  $\lambda_f \gg \lambda_o$  ( $\lambda_o$  - скорость распада свободного мюона);

г) получение непосредственной информации о скорости реакции синтеза  $\lambda_f$  в мезомолекуле  $dd\mu$  путем измерения выхода и вида временного распределения нейтронов от реакции (2 а). Полученные экспериментальные данные позволили провести достаточно широкое сравнение с имеющимися теоретическими расчетами.

Результаты исследований и их анализ излагаются в диссертации, состоящей из пяти глав.

В первой главе описывается созданная нами экспериментальная аппаратура, которая использовалась при проведении экспериментов. Она включает в себя: а) установку для получения сверхчистого газообразного водорода при давлении до 50 атм; б) систему вакуумирования и заполнения мишени (с внутреннимицинтилляторами из  $\text{CsJ}(Tl)$ ) водородом; в) регистрирующую аппаратуру.

При исследовании мезоатомных и молекулярных процессов в водороде предъявляются очень высокие требования к чистоте водорода

(концентрация примесей с  $Z > I$  не более  $10^{-7}$  объемных долей при изучении мезомолекулярных процессов и не более  $10^{-8}$  объемных долей при изучении  $\mu$ -захвата протоном (дейтероном)). Для получения водорода (изотопов водорода) указанной чистоты нами была создана установка диффузионной очистки<sup>1/1</sup> (палладиевый фильтр), работа которой основана на большой проницаемости палладия и его сплавов по отношению к водороду.

Достоинством установки диффузионной очистки является ее компактность, простота в эксплуатации и возможность получения сверхчистого водорода под давлением до 50 атм без использования компримирующих устройств. Средние величины производительности установки в интервале давлений 0 - 50 атм, при температурах на палладиевом фильтре  $280^{\circ}\text{C}$  и  $120^{\circ}\text{C}$ , составляли 0,72 л·атм/мин и 0,148 л·атм/мин. Анализы водорода после очистки показали, что суммарное содержание примесей с  $Z > I$  в водороде порядка  $10^{-8}$  объемных долей.

Водород с выхода установки диффузионной очистки<sup>2/2</sup> через систему вакуумирования и заполнения мишени водородом поступал в газовую мишень, которая представляла собой сосуд из нержавеющей стали с расположенными внутри сцинтилляторами  $\text{CsI}(\text{Tl})$ : один в виде стакана длиной 205 мм и диаметром 130 мм (счетчик 5), другой в виде тонкого диска толщиной 250 мкм (счетчик 4) и диаметром 120 мм.

На рис. I схематически изображена основная часть экспериментальной установки - мишень и детекторы. Для уменьшения фона установка была размещена в специально созданной лаборатории и окружена водяной защитой. Все эксперименты проводились на мюонном пучке с импульсом  $P = 130 \text{ MeV}/c$  и интенсивностью  $I = 2 \cdot 10^4 \text{ I}/\text{с}$ . В зависимости от цели опыта вокруг мишени располагались либо девять  $e^-$ -детекторов с кристаллами стильбена ( $\text{C}_{14}\text{H}_{12}$ ) диаметром 70 мм и толщиной 30 мм для регистрации нейтронов и электронов от распада мюонов (эксперимент по измерению  $\lambda_{dd\mu}$  и  $\lambda_f$  в мезомолекуле  $dd\mu$ ), либо четыре  $e^-$ -детектора и два  $\gamma$ -детектора с кристаллами  $\text{NaI}(\text{Tl})$  размерами  $150 \times 100 \text{ mm}^2$  для регистрации мезорентгенового излучения  $\text{X}_{\mu\mu}$ -атомов и электронов от распада мюонов (эксперимент по измерению  $\lambda_{rr\mu}$ ,  $\lambda_{rd\mu}$ ,  $\lambda_d$ ,  $\lambda_f$ ).

В главе II описывается программа, созданная для вычисления эффективностей регистрации нейтронов ( $E_n$ ) от реакций (2 а), (3) и электронов ( $E_e$ ) от распада мюонов нашей экспериментальной уста-

новкой<sup>1/5</sup> (регистрация нейтронов и электронов осуществлялась с помощью девяти  $e^-$ -детекторов).

Знание величины  $E_n$  необходимо для определения абсолютного выхода нейтронов в наших опытах<sup>1/6,7</sup>, а  $E_e$  - для определения числа остановок мюонов в мишени, заполненной водородом либо смесью изотопов водорода. Задача об определении эффективностей регистрации нейтронов в условиях плохой геометрии установки (протяженные размеры мишени) решалась путем численного моделирования с помощью метода Монте-Карло. Расчеты производились на ЭВМ БЭСМ-6. Последовательность расчетов состояла из следующих этапов: 1) моделирование точки остановки мюона в мишени и угла вылета нейтрона (электрона); 2) моделирование взаимодействия нейтрона (электрона) с веществом внутренних сцинтилляторов и стенок мишени; 3) моделирование взаимодействий нейтрона (электрона) в стильбене и построение амплитудных распределений событий, зарегистрированных  $e^-$ -детекторами. Окончательные значения эффективностей ре-

гistrationи нейтронов и электронов экспериментальной установкой составили:  
 $E_n = 0,0462 \pm 0,0009$  (реакция (3));  
 $E_n = 0,0679 \pm 0,0017$  (реакция (2 а));  
 $E_e = 0,1782 \pm 0,0033$ .

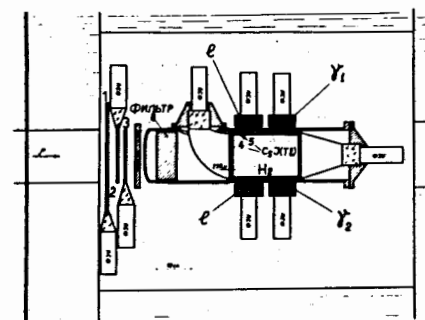
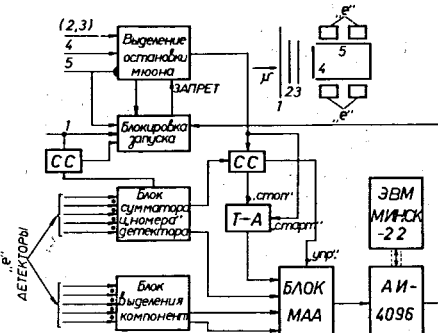


Рис. I  
Схема экспериментальной установки (газовая мишень и детекторы).

Глава III посвящена описание эксперимента<sup>1/6</sup> по измерению  $\lambda_{dd\mu}$  - скорости образования  $dd\mu$ -молекулы и  $\lambda_f$  - скорости синтеза в ней в газообразном дейтерии при  $T = 300^{\circ}\text{K}$ . Метод определения величин  $\lambda_{dd\mu}$  и  $\lambda_f$  был основан на измерении выхода и временно-го распределения нейтронов от реакции (2 а) и последующем анализе его путем аппроксимации выражением, являющимся функцией указанных величин. Работа выполнялась на пучке мюонов с использованием газовой мишени, заполненной сверхчистым дейтерием ( $\text{C}_2 < 10^{-8}$  объемных долей) до давления 41 атм. Мюоны после прохождения счетчиков 1, 2, 3 (см. рис. I) тормозились фильтром 6 и

попадали в объем газовой мишени. Методы выделения остановок мюонов с помощью сцинтилляторов из  $CsJ(Tl)$ , находящихся внутри мишени (счетчики 4,5), рассмотрены в работе [4]. На рис. 2 представлена блок-схема электронной аппаратуры. Импульс остановки мюона ( $234\bar{5}$ ) запускал "ворота" длительностью 4 мкс, в течение которых анализировались события, зарегистрированные е-детекторами. Многоканальная система регистрации нейтронов описана в работе [3].

Блок выделения компонент осуществлял разделение нейтронов и  $\gamma$ -квантов по форме сцинтилляционного импульса в стильбене. В результате разделения на выходе БВК появлялись два импульса: амплитуда одного пропорциональна площади "быстрой" компоненты ("БК"), а амплитуда другого - полной площади светового импульса ("Е"). Блок сумматора и номера детектора вырабатывал также два импульса: один логический (e), другой - аналоговый. Логический сигнал (e) свидетельствовал о том, что в одном из е-детекторов зарегистрировано событие, а амплитуда аналогового импульса соответствовала номеру данного детектора ("N"). Время появления сигнала с е-детектора ("T") относительно момента остановки мюона измерялось с помощью времени-амплитудного преобразователя Т → А. Электронная логика производила отбор событий, зарегистрированных е-детекторами, согласно критериям.



В главе IV описывается эксперимент /8/, целью которого являлось прямое измерение скоростей образования  $\text{pp}\mu$ - и  $\text{pd}\mu$ -молекул в газообразном водороде. В процессе эксперимента было получено также отношение скоростей перехвата мюона с протоном и дейтрона на ксенон. В работе был применен метод измерения, в основе которого лежит использование смеси водорода с малой примесью газа  $Z > 1$  (в нашем случае был взят ксенон с атомарной концентрацией  $\sim 10^{-5}$ ). Временные распределения  $\gamma$ -квантов мезорентгеновского излучения  $Z_\mu$ -атомов (возникшего в результате перехвата мюона с протоном (дейтрона) к ядрам ксенона) и электронов от распада мюонов можно записать единным образом для смеси  $\text{H}_2 + \text{Xe}$  (опыт по определению  $\lambda_{\text{pp}\mu}$ ) и  $\text{H}_2 + \text{D}_2 + \text{Xe}$  (опыт по определению  $\lambda_{\text{pd}\mu}$ ):

$$\frac{dn}{dt} = \lambda_{xe} e^{-\lambda_s t}, \quad (6)$$

$$\frac{dn_e}{dt} = (\lambda_o - \frac{\lambda_o \lambda_{xe}}{\lambda_s - \lambda_o - \lambda_{xe}^{\text{cap}}} - \frac{\lambda_o \lambda_x}{\lambda_s - \lambda_o}) e^{-\lambda_s t} + \frac{\lambda_o \lambda_x}{\lambda_s - \lambda_o} e^{-\lambda_d t}. \quad (7)$$

Здесь для смеси  $\text{H}_2 + \text{Xe}$   $\lambda_s = \lambda_o + \varphi \lambda_{\text{pp}\mu} (1 - C_D) + \varphi C_{xe} \lambda_{xe} + \varphi C_D \lambda_{pd}$ ;  $\lambda_x = \lambda_{\text{pp}\mu}$ ,  $\lambda_{xe} = \lambda_{xe}^p$ , а для смеси  $\text{H}_2 + \text{Xe} + \text{D}_2$   $\lambda_s = \lambda_o + \varphi (1 - C_D) \lambda_{pd\mu} + \varphi C_D \lambda_{dd\mu} + \varphi C_{xe} \lambda_{xe}$ ,  $\lambda_x = \lambda_{pd\mu}$ ,  $\lambda_{xe} = \lambda_{xe}^d$ ;  $\lambda_{xe}^p$ ,  $\lambda_{pd}^d$  — скорость перехвата мюона с протоном (дейтроном) к ядрам  $\text{Xe}$ ,  $\lambda_{pd}$  — скорость перехвата мюона с протоном на дейтрон;  $C_{xe}$ ,  $C_D$  — атомарные концентрации ксенона и дейтерия соответственно;  $\varphi$  — отношение плотности газа к плотности жидкого водорода;  $\lambda_{xe}^{\text{cap}}$  — скорость захвата мюона ядром ксенона;  $\lambda_o$  — скорость распада мюона на орбите  $\text{He}\mu$  — атома.

Анализ экспериментальных временных распределений с помощью выражений типа (6) и (7) с целью определения параметров указанных экспонент дает возможность найти искомые величины  $\lambda_x$ ,  $\lambda_{xe}$ .

Пучок мюонов, газовая мишень, система очистки водорода и методы выделения остановок мюонов в объеме мишени были теми же, что и в опытах по измерению скорости образования  $\text{dd}\mu$ -молекулы /6/. Регистрация  $\gamma$ -квантов мезорентгеновского излучения  $\text{He}\mu$ -атомов и электронов от распада мюонов осуществлялась двумя детекторами ( $\gamma_1$ ,  $\gamma_2$ ) и четырьмя счетчиками ( $e_1 \div e_4$ ).

Преобразованная в цифровой код амплитудно-временная информация о событиях, зарегистрированном  $\gamma$ -или  $e$ -детектором, вместе с содержимым регистра логических признаков передавалась в ЭВМ НР-2116.

На пучке мюонов было проведено четыре экспозиции. Условия опытов приведены в таблице I.

Во всех четырех опытах проводилось измерение временных спектров событий, зарегистрированных  $\gamma$ - и  $e$ -детекторами в соударениях и антисовпадениях с сигналом от детектора 5 (спектры  $e+5$ ,  $e-5$ ,  $\gamma+5$ ,  $\gamma-5$ ). Кроме того, измерялись также амплитудные распределения импульсов от детекторов  $\text{NaI}(\text{Tl})$ . Характерные временные распределения событий, зарегистрированных в опыте  $\text{H}_2 + \text{Xe}$ , приведены на рис. 4. Для нахождения величин  $\lambda_{\text{pp}\mu}$ ,  $\lambda_{\text{pd}\mu}$ ,  $B = \frac{\lambda_{xe}}{\lambda_{xe}^d}$  были проанализированы по методу наименьших квадратов временные распределения событий, зарегистрированных  $\gamma$ - и  $e$ -детекторами в экспозициях "I", "II", "III".

Таблица I.

Экспозиция	Наполнение мишени	Давление смеси газов в мишени при $t = 20^\circ\text{C}$	Концентрация ксенона ( $\text{C}_{\text{Xe}}$ )	Концентрация дейтерия ( $\text{C}_D$ )
"I"	$\text{H}_2$	40 атм	-	$< 10^{-6}$
"II"	$\text{H}_2 + \text{Xe}$	40 атм	$\approx 3 \cdot 10^{-5}$	$< 10^{-6}$
"III"	$\text{H}_2 + \text{Xe} + \text{D}_2$	43 атм	$\approx 3 \cdot 10^{-5}$	$\approx 0,07$
"IV"	вакуум	$10^{-5}$ атм	-	-

Фоновые распределения, полученные в опыте "IV" и приведенные к условиям соответствующей экспозиции, вычитались поканально. Максимальный вклад фона не превышал 3%. В результате обработки экспериментальных данных найдены следующие значения величин  $\lambda_{\text{pp}\mu}$ ,  $\lambda_{\text{pd}\mu}$  и  $B$ :

$$\lambda_{\text{pp}\mu} = (2,34 \pm 0,17) \cdot 10^{6 \text{ c}^{-1}},$$

$$\lambda_{\text{pd}\mu} = (5,53 \pm 0,16) \cdot 10^{6 \text{ c}^{-1}},$$

$$B = \frac{\lambda_{xe}}{\lambda_{xe}^d} = 1,62 \pm 0,05.$$

Полученное нами значение  $\lambda_{\text{pp}\mu}$  скорости образования  $\text{pp}\mu$ -молекулы хорошо согласуется с экспериментальными данными (E.Bleser, E.W.Anderson et al. Phys. Rev., 132, 2679 (1963); G.Conforto, C.Rubbia et al. Nuovo Cim., 33, 1001 (1964); B.P.Джелепов, П.Ф.Брмолов и др. Труды XIII Международной конференции по физике высоких энергий, Дубна, т. I, 878, 1964, М., Атомиздат, 1966; Ю.Г.Будяшов, П.Ф.Брмолов и др. Препринт ОИИ, Р 15-3964, Дубна (1968)) и с результатами (Я.Б.Зельдович, С.С.Герштейн. УФН, 71, 581 (1960); Л.И.Пономарев, М.П.Файцман. ЖЭТФ, 71, 1689 (1976)), а значение  $\lambda_{\text{pd}\mu}$  совпадает с данными работы

(E.Bleser, E.W.Anderson et al. Phys. Rev., 132, 2679

(1963)) и вычислениями (Л.И.Пономарев, М.П.Файфман. ЖЭТФ, 71, 1689 (1976)). Сопоставление данных измерений величин  $\lambda_{pp\mu}$  и  $\lambda_{pd\mu}$ , выполненных в различных экспериментальных условиях, позволяет сделать заключение, что скорости образования мезомолекул  $p\mu$  и  $pd\mu$  в жидком и газообразном водороде не различаются, т.е. отсутствует зависимость скоростей образования  $p\mu$ - и  $pd\mu$ -молекул от энергии  $p\mu$  ( $d\mu$ ) - атома.

В главе У представлены результаты ряда экспериментов, выполненных для определения как характера заселенности спиновых состояний  $d\mu$ -атома (в момент образования  $pd\mu$ -молекулы) в газообразном водороде с примесьюдейтерия порядка нескольких процентов, так и скорости синтеза в  $pd\mu$ -молекуле [9]. Хотя при образовании  $d\mu$ -атомов оба состояния сверхтонкой структуры со спином  $\frac{1}{2}$  - расчлененные криевые.

Бременные спектры событий, зарегистрированных  $\gamma$ -детекторами в опыте "П" (нормированный фон вычен), а - совпадения с сигналом от детектора 5 ( $\gamma$ ), б - антисовпадения с сигналом от детектора 5 ( $\gamma$ ); сплошные линии - расчетные криевые.

$$d\mu(\frac{3}{2}) + d \rightarrow d\mu(\frac{1}{2}) + d, \quad (8)$$

$$d\mu(\frac{3}{2}) + p \rightarrow d\mu(\frac{1}{2}) + p. \quad (9)$$

Результаты экспериментов (E.Bleser, E.W.Anderson et al. Phys. Rev., 132, 2679 (1963); I.-T.Wang et al. Phys. Rev., 139, 1528 (1965)) свидетельствуют о статистическом характере заселенности спиновых состояний  $d\mu$ -атомов в момент  $\mu$ -захвата, тогда как полученная в опыте (A.Placci et al. Phys. Rev. Lett., 25, 475 (1970); Phys. Rev., 8D, 11, 3774 (1973)) величина скорости захвата согласуется с теоретическими расчетами этой величины лишь при допущении, что к моменту  $\mu$ -захвата все  $d\mu$ -атомы переходят в состояние  $F = \frac{1}{2}$ . Из вычисленного значения  $\lambda_d$  скорости процесса (8) ( $\lambda_d = 7 \cdot 10^6 \text{ c}^{-1}$  - С.С.Герштейн.

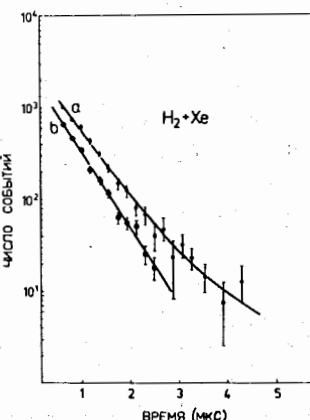


Рис. 4

ЖЭТФ, 40, 698 (1961); авторы полагают, что переходы  $\frac{3}{2} \rightarrow \frac{1}{2}$  возможны только в столкновениях (8)) следует, что как в условиях экспериментов (E.Bleser, E.W.Anderson et al. Phys. Rev., 132, 2679 (1963); I.-T.Wang et al. Phys. Rev., 139, 1528 (1965)), так и в условиях опыта (A.Placci et al. Phys. Rev. Lett., 25, 475 (1970); Phys. Rev., 8D, 11, 3774 (1973)) влияние этого процесса пренебрежимо мало. Для объяснения результатов своего опыта (A.Placci et al. Phys. Rev. Lett., 25, 475 (1970); Phys. Rev., 8D, 11, 3774 (1973)) авторы предположили, что интенсивный переход  $d\mu$  ( $\frac{3}{2} \rightarrow \frac{1}{2}$ ) обусловлен столкновениями (9). Следует отметить, что такой механизм приводил бы в условиях экспериментов (E.Bleser, E.W.Anderson et al. Phys. Rev., 132, 2679 (1963); I.-T.Wang et al. Phys. Rev., 139, 1528 (1965)) к 100% переходу  $d\mu$ -атомов в нижнее состояние с  $F = \frac{1}{2}$ , что явно противоречит результатам данных работ. Поэтому предположение о существовании интенсивного перехода  $d\mu(\frac{3}{2}) \rightarrow d\mu(\frac{1}{2})$  за счет процесса (9) не снимает расходжение между данными опытов

(A.Placci et al. Phys. Rev. Lett., 25, 475 (1970); Phys. Rev., 8D, 11, 3774 (1973)) и (E.Bleser, E.W.Anderson et al. Phys. Rev., 132, 2679 (1963); I.-T.Wang et al. Phys. Rev., 139, 1528 (1965)). Для однозначного установления характера заселенности спиновых состояний  $d\mu$ -атома (предполагается, что переходы  $d\mu(\frac{3}{2}) \rightarrow d\mu(\frac{1}{2})$  происходят только в столкновениях (8)) необходимо знание величины  $\lambda_d$ . Величину  $\lambda_d$  можно определить путем измерения временного распределения и абсолютного выхода  $\gamma$ -квантов от реакции (I a), который существенно зависит от распределения  $d\mu$ -атомов по спиновым состояниям в момент образования  $pd\mu$ -молекулы. Это связано со следующими обстоятельствами:

I) заселенность подуровней основного состояния  $pd\mu$ -молекулы ( $J = 2, 1$  (два уровня), 0;  $J$  - полный момент  $pd\mu$ -молекулы) определяется характером распределения  $d\mu$ -атомов по спиновым состояниям  $F = \frac{3}{2}$  и  $F = \frac{1}{2}$ ; 2) скорость реакции (I a) зависит от значения момента  $pd\mu$ -молекулы (при  $J = 2$  реакция не происходит, в остальных состояниях она протекает со скоростями, значения которых найдены в работе (С.С.Герштейн. ЖЭТФ, 40, 698 (1961)).

Бременное распределение  $\gamma$ -квантов от реакции (I a) можно представить следующим образом:

$$\frac{dn\gamma}{dt} = A E_\gamma P; P = f(a_i, b_i, d_i, \lambda_{pd\mu}, \lambda_F, \lambda_d), \quad (10)$$

где  $i = 1, 2, 3$  - индекс, соответствующий определенному

состоянию  $r\mu$ -молекулы ( $J = 0,1$  (два состояния));  
 $A$  - коэффициент, пропорциональный числу остановок мюонов в мишени;  $\varepsilon_f$  - эффективность регистрации  $\gamma$ -квантов от реакции (I а);  
 $a_i, b_i$  - статистические веса подуровней  $r\mu$ -молекулы, приведенные в работе (С.С.Герштейн. ЖЭТФ, 40, 698 (1961)), образованной из  $d\mu$ -атомов, находящихся в состоянии со спином  $F = 3/2$  и  $F = 1/2$  соответственно;  $d_i$  - отношение скорости реакции синтеза (I а) для определенного состояния  $r\mu$ -молекулы с моментом  $J$  к значению скорости синтеза в  $r\mu$ -молекуле с  $J = 0$ .

Исксные скорости  $\lambda_d$ ,  $\lambda_f$  были определены путем аппроксимации экспериментальных временных распределений  $\gamma$ -квантов выражением (10) при использовании найденного нами ранее значения

$$\lambda_{r\mu} = (5,53 \pm 0,16) \cdot 10^6 \text{с}^{-1}$$

и величины  $\varepsilon_f$ , измеренной в дополнительных экспериментах.

При проведении данного эксперимента использовалась та же экспериментальная аппаратура, что и в опыте по измерению скоростей образования  $r\mu$ - и  $r\mu$ -молекул (глава IV).

В эксперименте были проведены две экспозиции: "A" - со смесью  $H_2 + D_2$  и "B" - опыт с гелием (фоновый). Условия проведения эксперимента и основные данные, характеризующие опыты, приведены в таблице 2. Для каждой экспозиции производилось построение амплитудных спектров  $\gamma$ -квантов, зарегистрированных  $\gamma$ -детекторами в антисовпадениях с сигналом от счетчика 5.

С целью определения эффективности регистрации  $\gamma$ -квантов, образующихся в реакции (I а), был проведен эксперимент с мишенью из Та, которая располагалась в разных точках внутри стакана сцинтиллятора детектора 5 ( $Cs I(Tl)$ ).

Выбор tantalовой мишени был обусловлен тем, что энергия перехода  $2p \rightarrow 1s$  в  $Ta\mu$ -атоме ( $E(K_\alpha) = 5,35$  МэВ) близка по величине к энергии  $\gamma$ -квантов (5,5 МэВ) от реакции (I а). Обработка амплитудных спектров, полученных в данном опыте, проводилась в области, соответствующей энергии  $\gamma$ -квантов от 4,1 МэВ до 6,1 МэВ. Выбор этих границ позволил полностью исключить вклад  $L$ ,  $M$  и других серий  $\gamma$ -квантов. Вклад более жестких линий К-серий составлял  $\lesssim 2\%$  и был учтен при обработке. Найденные значения эффективности регистрации  $\gamma$ -квантов для обоих детекторов помещены в таблице 2.

Таблица 2.

Экспериментальные данные

Опыт	Число остановок мюонов в газе	Наполнение мишени и давление в (атм)	Число $\gamma$ -квантов, зарегистрированных детекторами при энергетическом пороге $E_{\text{пор}} = 4,1$ МэВ		Эффективность регистрации $\gamma$ -квантов $E_{\text{пор}} = 4,1$ МэВ	
			датчик $\gamma_1$	датчик $\gamma_2$	датчик $\gamma_1$	датчик $\gamma_2$
"A"	$2,9 \cdot 10^6$	$H_2 + 7\% D_2$ (42)	1550	2020	$0,0229 \pm 0,0025$	$0,0297 \pm 0,0036$
"B"	$1,57 \cdot 10^6$	He (47)	280 <sup>x</sup>	350 <sup>x</sup>		

<sup>x</sup>Эти значения нормированы на число остановок мюонов в экспозиции "A".

Временные распределения  $\gamma$ -квантов ( $\bar{\chi}_5$ ), полученные в опыте "B" и нормированные к условиям экспозиции "A", вычитались по каналам из соответствующих временных распределений, измеренных в опыте "A". Интегральный вклад фона при энергетическом пороге регистрирующей аппаратуры 4,1 МэВ не превышал 18%.

Результатирующие временные распределения ( $\bar{\chi}_5$ ), полученные с помощью обоих детекторов, обрабатывались по методу наименьших квадратов путем аппроксимации их выражением (10) с целью определения скорости перехода  $\lambda_d$  и скорости синтеза  $\lambda_f$  в мезомолекуле  $r\mu$  (рис. 5).

Получены следующие значения величин:

$$\lambda_f = (0,287 \pm 0,022) \cdot 10^6 \text{с}^{-1}; \quad \lambda_d < 15 \cdot 10^6 \text{с}^{-1}$$

на уровне 90% достоверности.

Значение  $\lambda_f$  находится в хорошем согласии с результатами экспериментальной работы ( E.Bleser, E.W.Anderson et al. Phys.Rev., 132, 2679 (1963) ) и вычислений  $(0,263 \cdot 10^6 \text{с}^{-1}$  - S.Gallone et al. Nuovo Cim., 6, 168 (1958);  $0,294 \cdot 10^6 \text{с}^{-1}$  - B.P.Carter. Phys. Rev., 141, 863 (1966)). Найденная верхняя граница скорости перехода (8) хорошо согласуется с данными экспериментов ( E.Bleser, E.W.Anderson et al. Phys. Rev., 132, 2679 (1963); I.-T.Wang et al. Phys. Rev., 139, 1528 (1965) ) и с расчетным значением  $-7 \cdot 10^6 \text{с}^{-1}$  (С.С.Герштейн. ЖЭТФ, 40, 698 (1961)). Из полученной нами оценки  $\lambda_d$  следует, что при небольших концентрациях дейтерия (порядка нескольких процентов) в смесях  $H_2 + D_2$  характер

заселенности спиновых состояний  $d\mu$ -атомов в момент ядерного захвата мюона дейtronом близок к статистическому. Это заключение расходится с выводами авторов работы (A.Placci et al. Phys.Rev. Lett., 25, 475 (1970); Phys. Rev., 8D, 11, 3774 (1973)), причем, расхождение сохраняет силу независимо от характера предположения о роли процесса (9) в переходах  $d\mu(3/2) \rightarrow d\mu(1/2)$ .

Действительно, если не пренебречь вкладом процесса (9), то наш результат можно представить в виде:

$\lambda_d + \frac{\lambda'_d - C_D}{C_D} \lambda'_D < 15 \cdot 10^6 \text{ c}^{-1}$  и для  $\lambda'_d$  - скорости процесса (9) - следует  $\lambda'_d < 1,1 \cdot 10^6 \text{ c}^{-1}$  ( $C_D$  - атомарная концентрация дейтерия).

Для условий эксперимента (A.Placci et al. Phys. Rev. Lett., 25, 475 (1970); Phys. Rev., 8D, 11, 3774 (1973)) на основании полученных нами значений  $\lambda_d$  и  $\lambda'_d$  вытекает ограничение:

$\lambda_d(3/2 \rightarrow 1/2) < 0,2 \cdot 10^5 \text{ c}^{-1}$ , что резко отличается от оценки авторов работы (A.Placci et al. Phys. Rev. Lett.,

25, 475 (1970); Phys. Rev., 8D, 11, 3774 (1973)), согласно которой  $\lambda_d(3/2 \rightarrow 1/2) > 5 \cdot 10^5 \text{ c}^{-1}$ .

Основные результаты, изложенные в диссертации, сводятся к следующему:

1. Создана установка для получения сверхчистого газообразного водорода при давлении 50 атмосфер (Pd -фильтр) и система вакуумирования и заполнения мишени (с внутренними сцинтилляторами CsI(Tl)) газообразным водородом до давления 40 атмосфер. Её система в целом позволяет получать и сохранять водород в мишени в течение 100-150 часов экспозиций на пучке мюонов, обеспечивая необходимые требования по чистоте (суммарное содержание примесей  $N_2$ ,  $O_2$  и др. в водороде порядка  $10^{-8}$  объемных долей).

2. Создана универсальная программа для расчета эффективностей

регистрации нейтронов и электронов методом Монте-Карло в экспериментах с мюонами. Получены энергетические и амплитудные спектры нейтронов и электронов, зарегистрированных детекторами с кристаллами стильбена ( $C_{14}H_{12}$ ).

3. Выполнен эксперимент по измерению  $\lambda_{d\mu}$  - скорости образования  $d\mu$ -молекул в газообразном дейтерии при  $T = 300^\circ\text{K}$  и определено нижнее граничное значение  $\lambda_f$  - скорости синтеза в  $d\mu$ -молекуле. Величины  $\lambda_{d\mu}$  и  $\lambda_f$  оказались равными:  $\lambda_{d\mu} = (0,73 \pm 0,07) \cdot 10^6 \text{ c}^{-1}$  ( $P_D = 4,22 \cdot 10^{22} \text{ I/cm}^3$ );  $\lambda_f > 1,8 \cdot 10^6 \text{ c}^{-1}$  (на уровне 90% достоверности). Найденное значение  $\lambda_{d\mu}$  подтверждает существование зависимости скорости образования  $d\mu$ -молекул от температуры среды, а полученное значение для  $\lambda_f$  не противоречит предсказаниям теории о большой величине скорости реакции синтеза в  $d\mu$ -молекуле.

4. Измерены прямым методом скорости образования  $r\mu$ - и  $r\bar{\mu}$ -молекул в газообразном водороде. В ходе работы было получено также отношение В скоростей перехода мюона с протона и дейтрома к ядрам ксенона. Найдены следующие значения скоростей образования  $r\mu$ -,  $r\bar{\mu}$ -молекул и величины В:  $\lambda_{r\mu} = (2,34 \pm 0,17) \cdot 10^6 \text{ c}^{-1}$ ;  $\lambda_{r\bar{\mu}} = (5,53 \pm 0,16) \cdot 10^6 \text{ c}^{-1}$ ;  $B = 1,62 \pm 0,05$ .

Сравнение значений  $\lambda_{r\mu}$  и  $\lambda_{r\bar{\mu}}$ , полученных нами в газообразном водороде с соответствующими величинами, найденными в экспериментах с жидким водородом, позволяет сделать заключение, что скорости образования мезомолекул  $r\mu$  и  $r\bar{\mu}$  в газообразном и жидким водороде не различаются.

5. В опыте с газовой мишенью, заполненной смесью  $H_2 + 7\% D_2$  под давлением 42 атм, измерена скорость реакции синтеза  $\lambda_f$  в мезомолекуле  $r\mu$  и найдено верхнее граничное значение скорости перехода  $\lambda_d$  между уровнями сверхтонкой структуры  $d\mu$ -атомов в соударениях  $d\mu(3/2) + d \rightarrow d\mu(1/2) + d$ . Получены следующие значения величин:  $\lambda_f = (0,287 \pm 0,022) \cdot 10^6 \text{ c}^{-1}$ ;  $\lambda_d < 15 \cdot 10^6 \text{ c}^{-1}$ . Из найденной оценки величины  $\lambda_d$  следует, что при небольших концентрациях дейтерия (порядка нескольких процентов) в смесях  $H_2 + D_2$  характер заселенности спиновых состояний  $d\mu$ -атомов в момент ядерного захвата мюона дейтром близок к статистическому.

Материал, изложенный в диссертации, основан на работах /1,2,5,6,8,9/, опубликованных в ЖЭТФ, ПТЭ, препринтах ОИЯИ, и докладывался на III Международном симпозиуме по физике высоких энергий и элементарных частиц (г. Синая, СРР, 1973г.) и на VI Международной конференции по физике высоких энергий и структуре ядра (Санта-Фэ, США, 1975).

### Литература

1. В.М.Быстрицкий, В.П.Джелепов, П.Ф.Ермолов, К.О.Оганесян, М.Н.Омельяненко, С.Ю.Пороховой, А.А.Родина, В.Е.Теплов, Е.В.Фильченков. ПТЭ, 2, 226 (1972).
2. В.М.Быстрицкий, В.П.Джелепов, П.Ф.Ермолов, Л.С.Котова, В.И.Лепилов, К.О.Оганесян, М.Н.Омельяненко, С.Ю.Пороховой, А.И.Руденко, В.В.Фильченков. Сообщение ОИЯИ, ИЗ-7246, Дубна (1973).
3. В.М.Быстрицкий, В.П.Джелепов, П.Ф.Ермолов, К.О.Оганесян, М.Н.Омельяненко, С.Ю.Пороховой, В.В.Фильченков. ПТЭ, I, 65 (1972).
4. В.М.Быстрицкий, В.П.Джелепов, П.Ф.Ермолов, К.О.Оганесян, М.Н.Омельяненко, С.Ю.Пороховой, В.В.Фильченков. ПТЭ, 4, 86 (1971).
5. В.М.Быстрицкий, Л.С.Бертоградов, В.В.Фильченков. Сообщение ОИЯИ, I - 7527, Дубна (1973).
6. В.М.Быстрицкий, В.П.Джелепов, К.О.Оганесян, М.Н.Омельяненко, С.Ю.Пороховой, А.И.Руденко, В.В.Фильченков. ЖЭТФ, 66, 61 (1974).
7. В.М.Быстрицкий, В.П.Джелепов, П.Ф.Ермолов, К.О.Оганесян, М.Н.Омельяненко, С.Ю.Пороховой, В.В.Фильченков. ЖЭТФ, 66, 43 (1974).
8. В.М.Быстрицкий, В.П.Джелепов, В.И.Петрухин, А.И.Руденко, Е.М.Суворов, Е.В.Фильченков, Г.Хемниц, Н.Н.Хованский, Б.А.Хоменко. ЖЭТФ, 70, II167 (1976).
9. В.М.Быстрицкий, В.П.Джелепов, В.И.Петрухин, А.И.Руденко, Е.М.Суворов, Е.В.Фильченков, Г.Хемниц, Н.Н.Хованский, Б.А.Хоменко. ЖЭТФ, 71, 1680 (1976).

Рукопись поступила в издательский отдел  
17 июня 1977 года.